

Mean LOS velocity calculated by StaMPS

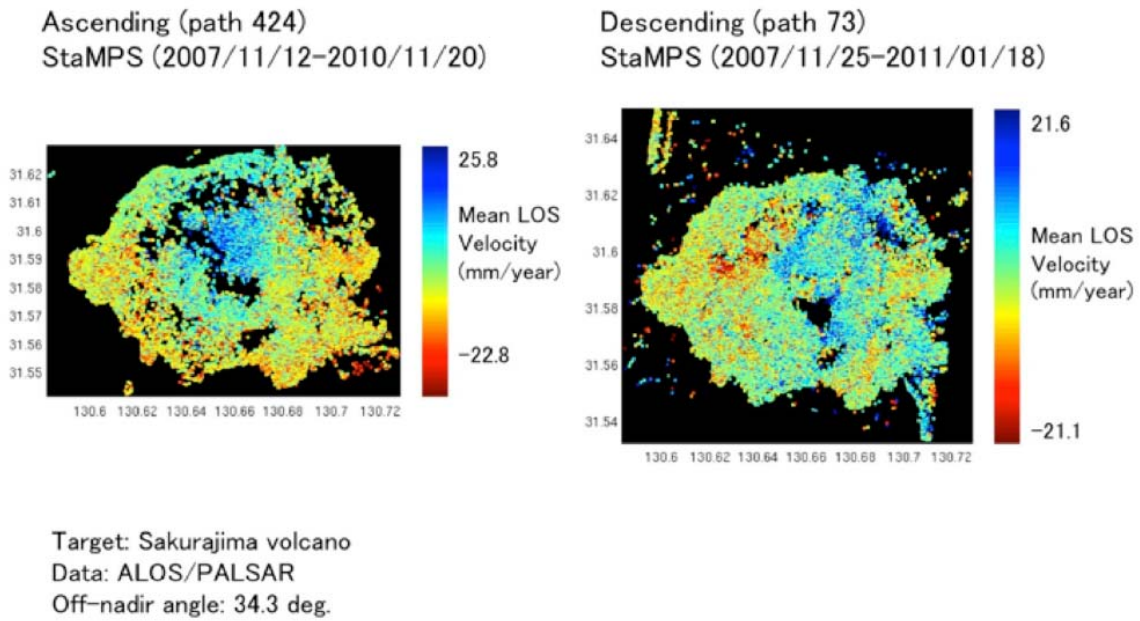


図 23. 2007 年～2011 年の桜島火山の ALOS/PALSAR データの PS-InSAR 解析結果（京都大学防災研究所 [課題番号：1805]）。

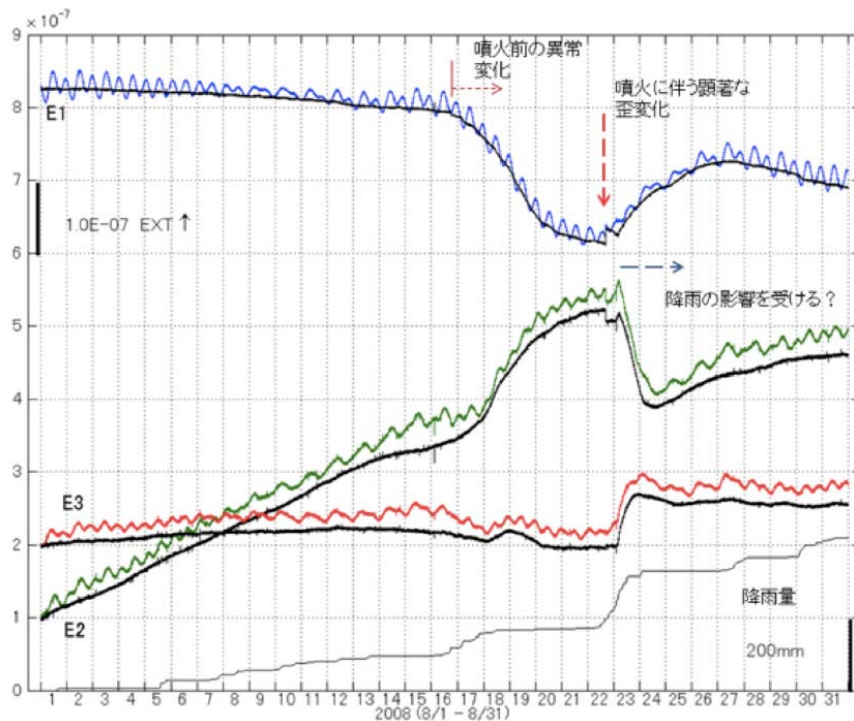


図 24. 伊佐の 2008 年 8 月の伸縮計記録。霧島の 2008 年の小規模噴火に際して変動が認められる（京都大学防災研究所 [課題番号：1805]）。

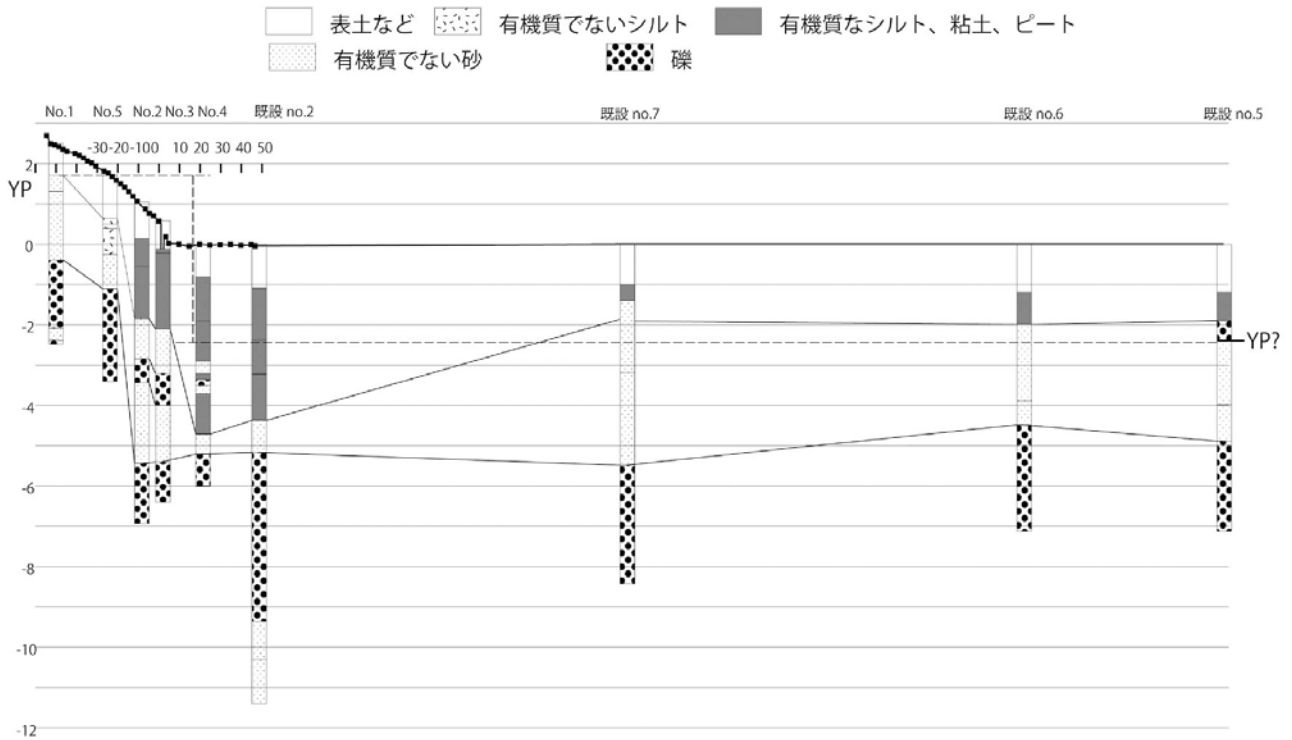
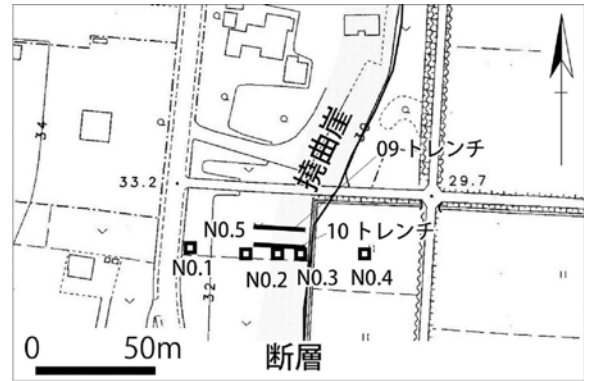
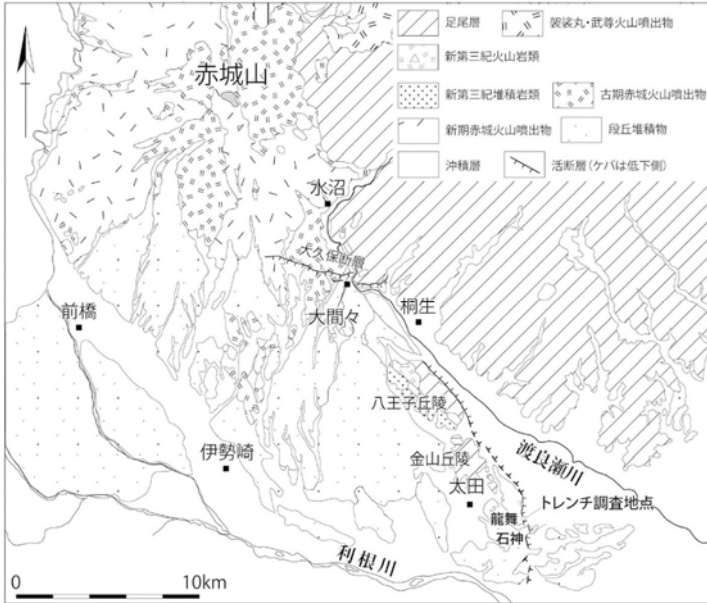


図 25. 太田断層のボーリング調査。左上：太田断層の位置。右上：太田市龍舞におけるボーリング調査地点の詳細図。下：太田市龍舞の地形地質断面図（名古屋大学〔課題番号：1704〕）。

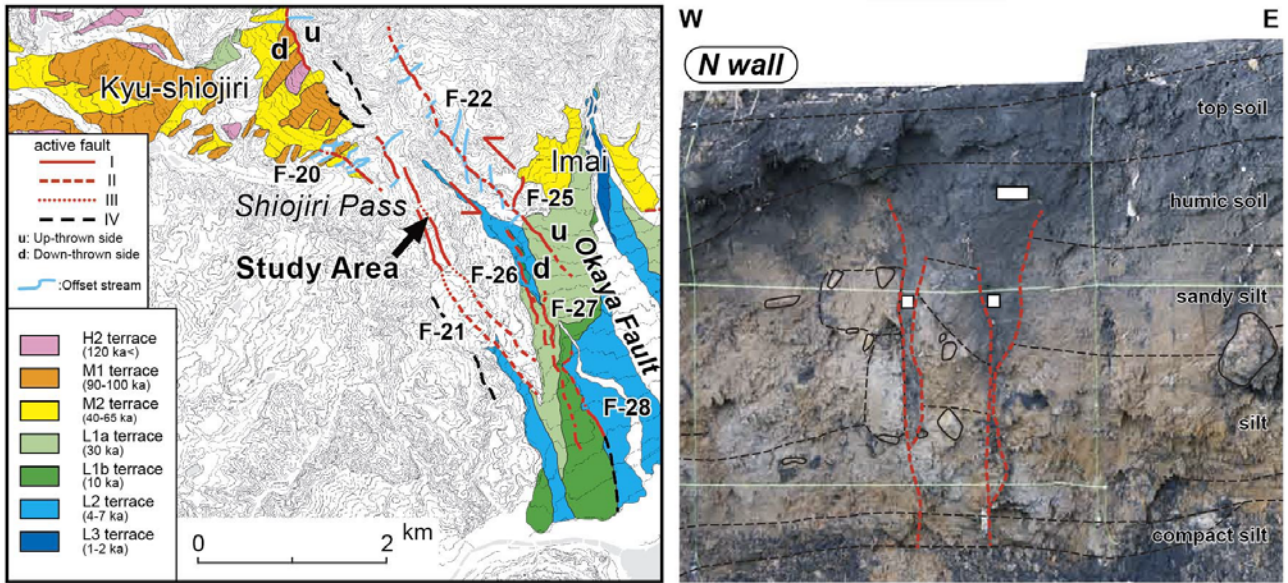


図 26. 岡谷市、トレンチ掘削調査地点周辺の段丘面区分と活断層の分布(谷口ほか(2011)を加筆・修正)、およびトレンチ北側壁面の一部(名古屋大学[課題番号:1704])。